

# 一类平面二次系统的 Poincaré 分枝\*

李继彬

陈孝秋

(昆明工学院数学教研室)

(汕头大学数学系)

如果二维单参数自治系统

$$\frac{dx}{dt} = P(x, y, \alpha), \quad \frac{dy}{dt} = Q(x, y, \alpha), \quad (1)_\alpha$$

当  $\alpha = 0$  时, 存在一系充满某环域的周期环  $\{\Gamma^h\}$ , 研究  $(1)_\alpha$  的 Poincaré 分枝, 即由闭轨产生极限环的问题, 归结为研究函数

$$A_1(h) = \oint_{\Gamma^h} [(P_{\alpha 0}Q_0 - Q_{\alpha 0}P_0) \exp\left(-\int_0^t (P_x + Q_y) dt\right)] dt \quad (2)$$

的零点个数及  $A_1^{(k)}(h)$  的性质(见文献[1] § 4).

当  $(1)_\alpha$  的散度非退化(即  $\frac{\partial P}{\partial x} + \frac{\partial Q}{\partial y} \neq 0$ )时, 由于(2)式中积分的困难, 未见研究实例.

因此, 即便对于二次微分系统, 是否存在 Poincaré 分枝, 尚无定论. 本文将用下述系统  $(3)_\alpha$  作为例子证明, 平面二次系统存在 Poincaré 分枝. 在确定的参数条件下,  $(3)_{\alpha=0}$  的闭轨能分枝出  $(1, 0)$ ,  $(2, 0)$  与  $(1, 1)$  型分布的极限环. 极限环的位置可以较精确地估计, 它们一般是非局部的, 即未必集中于奇点的小邻域内, 可随参数改变扩张或收缩.

考虑二次系统

$$\begin{aligned} \frac{dx}{dt} &= xy + \alpha(l_1x^2 + m_1xy + n_1y^2 + p_1x + q_1y) = P(x, y, \alpha), \\ \frac{dy}{dt} &= \frac{1}{2} - \frac{1}{2}x^2 + 2y^2 + \alpha(l_2x^2 + m_2xy + n_2y^2 + p_2x + q_2y) \\ &= Q(x, y, \alpha), \end{aligned} \quad (3)_\alpha$$

其中  $0 < \alpha \ll 1$ , 下文不再重述.

系统  $(3)_{\alpha=0}$  具有双中心  $A(1, 0)$ ,  $B(-1, 0)$ , 且具有三对无穷远奇点. 积分  $(3)_{\alpha=0}$ , 可求得围绕  $A(1, 0)$  的闭轨族  $\{\Gamma_1^h\}$  的参数方程:

$$\begin{aligned} x_1(t) &= \frac{1-h}{[(1-h)^2 + (2h-h^2)\cos t]^{\frac{1}{2}}}, \\ y_1(t) &= \frac{(2h-h^2)\sin t}{2[(1-h)^2 + (2h-h^2)^2\cos t]}, \end{aligned} \quad (4)$$

其中  $h \in (0, 1 - \frac{1}{\sqrt{2}})$ . 围绕  $B(-1, 0)$  的闭轨族  $\{\Gamma_2^h\}$  则有参数方程  $x_2(t) = -x_1(t)$ ,  $y_2(t) = y_1(t)$ . 引入记号

\* 本文 1985 年 8 月 27 日收到.

\* 中国科学院科学基金资助的课题.

$$k^2 = 2(2h - h^2), \quad (1 - h) = \left(\frac{2 - k^2}{2}\right)^{\frac{1}{2}},$$

$$\Delta\phi = (1 - k^2 \sin^2 u)^{\frac{1}{2}}, \quad u = \frac{1}{2} t.$$

当  $h$  从 0 增加到  $1 - \frac{1}{\sqrt{2}}$  时,  $k^2$  从 0 增加到 1. 于是对于 (3)<sub>a</sub>, (2) 式中的

$$\begin{aligned} \exp\left(-\int_0^t (P_{x0} + Q_{y0}) dt\right) &= \exp\left(-\frac{5}{2} \int_0^t \frac{(2h - h^2) \sin t dt}{(1 - h)^2 + (2h - h^2) \cos t}\right) \\ &= [(1 - h)^2 + (2h - h^2) \cos t]^{\frac{1}{2}} = (\Delta\phi)^5, \end{aligned} \quad (5)$$

注意到函数  $y_i(t)$ ,  $x_i(t)$  的奇偶性 ( $i = 1, 2$ ), 我们有

$$\begin{aligned} A_1(h) &= \int_0^{2\pi} (\Delta\phi)^5 \left[ \left(\frac{1}{2} - \frac{1}{2} x^2 + 2y^2\right) (l_1 x^2 + m_1 xy + n_1 y^2 + p_1 x + q_1 y) \right. \\ &\quad \left. - xy(l_2 x^2 + m_2 xy + n_2 y^2 + p_2 x + q_2 y)\right] dt \\ &= \int_0^\pi (\Delta\phi)^5 [-l_1 x^4 + 4n_1 y^4 + (4l_1 - n_1 - 2m_2)x^2 y^2 - p_1 x^3 \\ &\quad + (4p_1 - 2q_2)xy^2 + l_1 x^2 + n_1 y^2 + p_1 x] dt. \end{aligned} \quad (6)$$

引入第一、二类完全椭圆积分

$$E(k) = \int_0^{\frac{\pi}{2}} \Delta\phi du, \quad K(k) = \int_0^{\frac{\pi}{2}} \frac{du}{\Delta\phi},$$

经细致计算 (6) 式右端各项积分得

$$\begin{aligned} A_1(h) &= \frac{1}{12} \left\{ [6(2 - k^2)^2 l_1 - 2(2 - k^2)^2 m_2 + (k^4 - 16k^2 + 16)n_1] E(k) \right. \\ &\quad - 4(1 - k^2)(2 - k^2)(3l_1 - m_2 + 2n_1) K(k) \pm \frac{3\pi(4p_1 - q_2)}{4\sqrt{2}} \\ &\quad \times k^4 \sqrt{2 - k^2} \Big\}, \end{aligned} \quad (7)$$

显然,  $A_1(h)$  只与参数  $l_1, n_1, m_2, p_1, q_2$  有关, 为简化起见, 令  $\rho = k^2$ ,  $l = 3l_1 - m_2$ ,  $n = n_1$ ,  $\lambda = 4p_1 - q_2$ , 并略去常数因子  $\frac{1}{12}$ , (7) 式可化为

$$\begin{aligned} \Phi_{1,2}(\rho) &= [(2l + n)\rho^2 - 8(l + 2n)\rho + 8(l + 2n)] E(\sqrt{\rho}) \\ &\quad - 4(l + 2n)(1 - \rho)(2 - \rho) K(\sqrt{\rho}) \pm \frac{3\pi\lambda\rho^2\sqrt{2 - \rho}}{4\sqrt{2}}, \end{aligned} \quad (8)$$

(8) 式中  $\Phi_1(\rho)$  及右边末项的正号对应于沿  $\{\Gamma_1^*\}$  的积分,  $\Phi_2(\rho)$  及负号对应于沿  $\{\Gamma_2^*\}$  的积分. 以下分四种情况讨论.

1)  $l + 2n = 0$ ,  $\lambda \equiv 0$ . 此时,

$$\Phi_{1,2}(\rho) = \frac{3}{2} l \rho^2 E(\sqrt{\rho}),$$

在  $0 < \rho < 1$  时,  $\Phi_{1,2}(\rho)$  不存在实零点. 因此, 扰动系统 (3)<sub>a</sub> 不存在极限环.

2)  $l + 2n \neq 0$ ,  $\lambda \equiv 0$ . 记  $a = \frac{2l + n}{l + 2n}$ , 由 (8) 式得

$$\begin{aligned}\Phi_{1,2}(\rho) &= (l+2n)[(a\rho^2 - 8\rho + 8)E(\sqrt{\rho}) - 4(1-\rho)(2-\rho)K(\sqrt{\rho})] \\ &\stackrel{\text{def}}{=} (l+2n)\psi(\rho).\end{aligned}\quad (9)$$

对于  $\rho \in (0, 1)$   $\psi(\rho)$  有级数展式

$$\psi(\rho) = \frac{\pi}{2}\rho^2 \left[ \left(a - \frac{1}{2}\right) - \frac{1}{4}\left(a - \frac{1}{2}\right)\rho - \frac{3}{64}\left(a - \frac{7}{4}\right)\rho^2 + \dots \right], \quad (10)$$

并且

$$\begin{aligned}\psi'(\rho) &= \frac{1}{2}[(5a\rho - 20)E(\sqrt{\rho}) + (20 - 12\rho - a\rho)K(\sqrt{\rho})] \\ &= \pi\rho \left[ \left(a - \frac{1}{2}\right) - \frac{3}{8}\left(a - \frac{1}{2}\right)\rho \right. \\ &\quad \left. - \frac{3}{32}\left(a - \frac{7}{4}\right)\rho^2 + \dots \right] \quad (0 < \rho < 1),\end{aligned}\quad (11)$$

故

$$\lim_{\rho \rightarrow 1^-} \psi'(\rho) = \begin{cases} +\infty & \text{当 } a < 8 \text{ 时}, \\ 10 & \text{当 } a = 8 \text{ 时}, \\ -\infty & \text{当 } a > 8 \text{ 时}. \end{cases} \quad (12)$$

由(9)–(12)式即知, 当  $0 < a < \frac{1}{2}$  时,  $\psi(\rho)$  在  $\rho \in (0, 1)$  恰有一个简单零点  $\rho = \rho_z$ ,

$\psi(\rho)$  随着  $\rho$  的增加先下降到一个极小值再单增. 当  $a \rightarrow \frac{1}{2}$  时,  $\rho_z \rightarrow 0$ ; 当  $a \rightarrow 0$  时,  $\rho_z \rightarrow 1$ .

1. 根据文献[1]定理 4.11 及推论得

**命题 1** 设 (3)<sub>a</sub> 中参数满足关系  $l+2n > 0$ ,  $\lambda \equiv 0$ , 则当  $0 < a < \frac{1}{2}$  (即  $l < 0$ ,  $n > -2l$ ) 时, 系统 (3)<sub>a</sub> 存在  $(1, 1)$  分布的极限环. 当  $a \rightarrow \frac{1}{2}$  时, 两极限环分别收缩到奇点  $A, B$ , 当  $a \rightarrow 0$  时, 两极限环扩张到无穷远.

3)  $l+2n=0$ ,  $\lambda \not\equiv 0$ . 类似于文献[2]的处理, 令  $\Phi_{1,2}(\rho)=0$ , 引入判定函数

$$\lambda_{1,2}(\rho) = \mp \frac{2lE(\sqrt{\rho})}{\pi\sqrt{1-\rho/2}}. \quad (13)$$

显然, 若  $l > 0$ , 则  $\lambda_1(\rho) < 0$ ,  $\lambda_2(\rho) > 0$ . 由于两函数的图形是对称的, 考虑  $\lambda_2(\rho)$ . 因为

$$\begin{aligned}\lambda_2(0) &= l, \quad \lambda_2(1) = \frac{2\sqrt{2}}{\pi}l, \\ \lambda_2'(\rho) &= \frac{2E(\sqrt{\rho}) - (2-\rho)K(\sqrt{\rho})}{2\rho(2-\rho)^{3/2}} < 0,\end{aligned}$$

故  $\lambda_2(\rho)$  在  $(0, 1)$  内单调减, 且  $\lim_{\rho \rightarrow 1^-} \lambda_2'(\rho) = -\infty$ . 根据文献[2]定理 3.1, 我们有

**命题 2** 若  $l+2n=0$ , 则当  $0 < \frac{2\sqrt{2}}{\pi}l + o(a) < \lambda < l + o(a)$  时系统 (3)<sub>a</sub> 存在围绕奇点  $B(-1, 0)$  的唯一不稳定极限环, 随  $\lambda$  的减少, 该极限环扩大; 当

$$-l + o(a) < \lambda < -\frac{2\sqrt{2}}{\pi}l + o(a)$$

时, (3) 存在围绕奇点  $A(1, 0)$  的唯一稳定极限环, 该环随  $\lambda$  的减少而缩小。

4)  $l + 2n \neq 0$ ,  $\lambda \neq 0$ . 考虑判定函数

$$\begin{aligned}\tilde{\lambda}_{1,2}(\rho) &= \mp \frac{4\sqrt{2}(l+2n)[(a\rho^2 - 8\rho + 8)E(\sqrt{\rho}) - 4(1-\rho)(2-\rho)K(\sqrt{\rho})]}{3\pi\rho^2\sqrt{2-\rho}} \\ &\stackrel{\text{def}}{=} \mp \frac{4\sqrt{2}(l+2n)}{3\pi} \frac{\phi(\rho)}{\varphi(\rho)} = \frac{4\sqrt{2}(l+2n)}{3\pi} \lambda_{1,2}(\rho),\end{aligned}\quad (14)$$

由于  $\lambda_1(\rho)$  与  $\lambda_2(\rho)$  的图形对称于  $\rho$  轴, 只需考虑  $l + 2n > 0$  及  $a \geq 0$  的情况。由(14)式得

$$\lambda_2(\rho) = \frac{\pi}{2\sqrt{2}} \left[ \left( a - \frac{1}{2} \right) - \frac{1}{64} \left( a - \frac{17}{4} \right) \rho^2 + \dots \right], \quad (15)$$

$$\phi'(\rho) = \frac{(8-5\rho)\rho}{2\sqrt{2-\rho}}, \quad \lambda_2'(\rho) = \frac{1}{\varphi(\rho)} [\phi'(\rho) - \lambda_2(\rho)\varphi'(\rho)], \quad (16)$$

因此, 由(14)–(16)式得

$$\lambda_2(0) = \frac{\pi}{2\sqrt{2}} \left( a - \frac{1}{2} \right), \quad \lambda_2(1) = a, \quad (17)$$

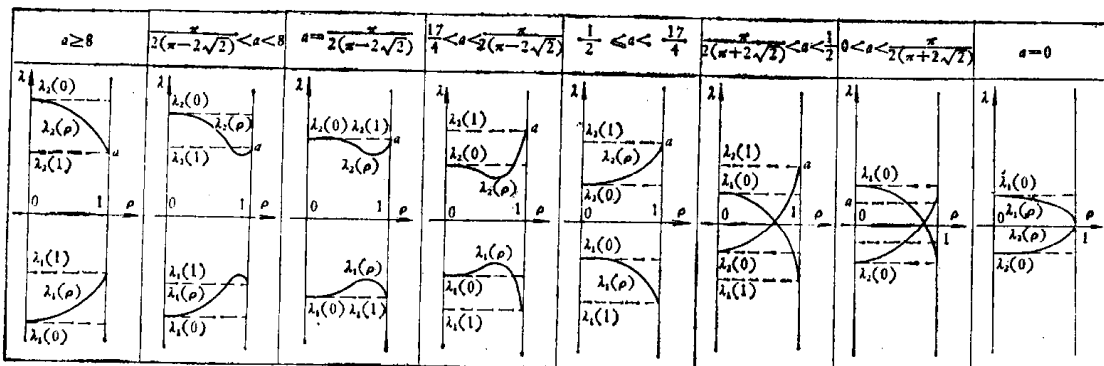
$$\begin{aligned}\lim_{\rho \rightarrow 1} \lambda(\rho) &= \lim_{\rho \rightarrow 1} \left[ [\phi'(\rho) - \frac{3}{2}a] \right] \\ &= \begin{cases} +\infty & a < 8 \\ -2 & \text{当 } a = 8 \text{ 时.} \\ -\infty & a > 8 \end{cases}\end{aligned}\quad (18)$$

从(17)式可见, 当  $a \geq \frac{\pi}{2(\pi-2\sqrt{2})} \approx 5.01586$  时,  $\lambda_2(0) \geq \lambda_2(1)$ ; 当  $0 < a < \frac{1}{2}$  时, 若

$a \geq \frac{\pi}{2(\pi+2\sqrt{2})} \approx 0.2631$ ,  $|\lambda_2(0)| \leq \lambda_2(1)$ . 利用上面的结果进行详细分析, 我们得到表

1 所列判定曲线示意图。注意, 对于固定的  $a$  值, 只要查完全椭圆积分表, 就可以精确地绘出这些图形。

表 1



根据上面的判定曲线图与文献[2]定理 3.1 得

**命题 3** 设  $l + 2n > 0$ , 对于使得  $\rho-\lambda$  平面上直线  $\lambda = \lambda_0$  与判定曲线有交点的参

数值  $\lambda_0$ , 有结论:

- (i) 当  $a$  满足条件 ①  $a \geq 8$ , 或 ②  $\frac{1}{2} \leq a < \frac{17}{4}$ , 或 ③  $a = 0$  时, 系统  $(3)_a$  存在  $(1, 0)$  分布的极限环;
- (ii) 当  $a$  满足条件 ①  $\frac{\pi}{2(\pi - 2\sqrt{2})} < a < 8$  或 ②  $\frac{17}{4} < a < \frac{\pi}{2(\pi - 2\sqrt{2})}$  时, 系统  $(3)_a$  存在  $(2, 0)$  分布或  $(1, 0)$  分布的极限环;
- (iii) 当  $a = \frac{\pi}{2(\pi - 2\sqrt{2})}$  时, 系统  $(3)_a$  存在  $(2, 0)$  分布的极限环;
- (iv) 当  $0 < a < \frac{1}{2}$  时, 系统  $(3)_a$  存在  $(1, 1)$  分布或  $(1, 0)$  分布的极限环;
- (v) 当  $a = \frac{\pi}{2(\pi + 2\sqrt{2})}$  时, 系统  $(3)_a$  只存在  $(1, 1)$  分布的极限环, 且随  $\lambda$  的减少, 包围  $A$  的不稳定环扩大, 包围  $B$  的稳定环缩小.

综合上述各命题, 我们得到

**定理** 平面二次系统存在 Poincaré 分枝. 系统  $(3)_a$  的 Poincaré 分枝可能以  $(1, 0)$ ,  $(2, 0)$ ,  $(1, 1)$  三种分布的极限环而存在.

### 参 考 文 献

- [1] 叶彦谦, 极限环论, 上海科技出版社, 1984.  
[2] 李继彬等, 数学学报, 28(1985), 4: 509—521.